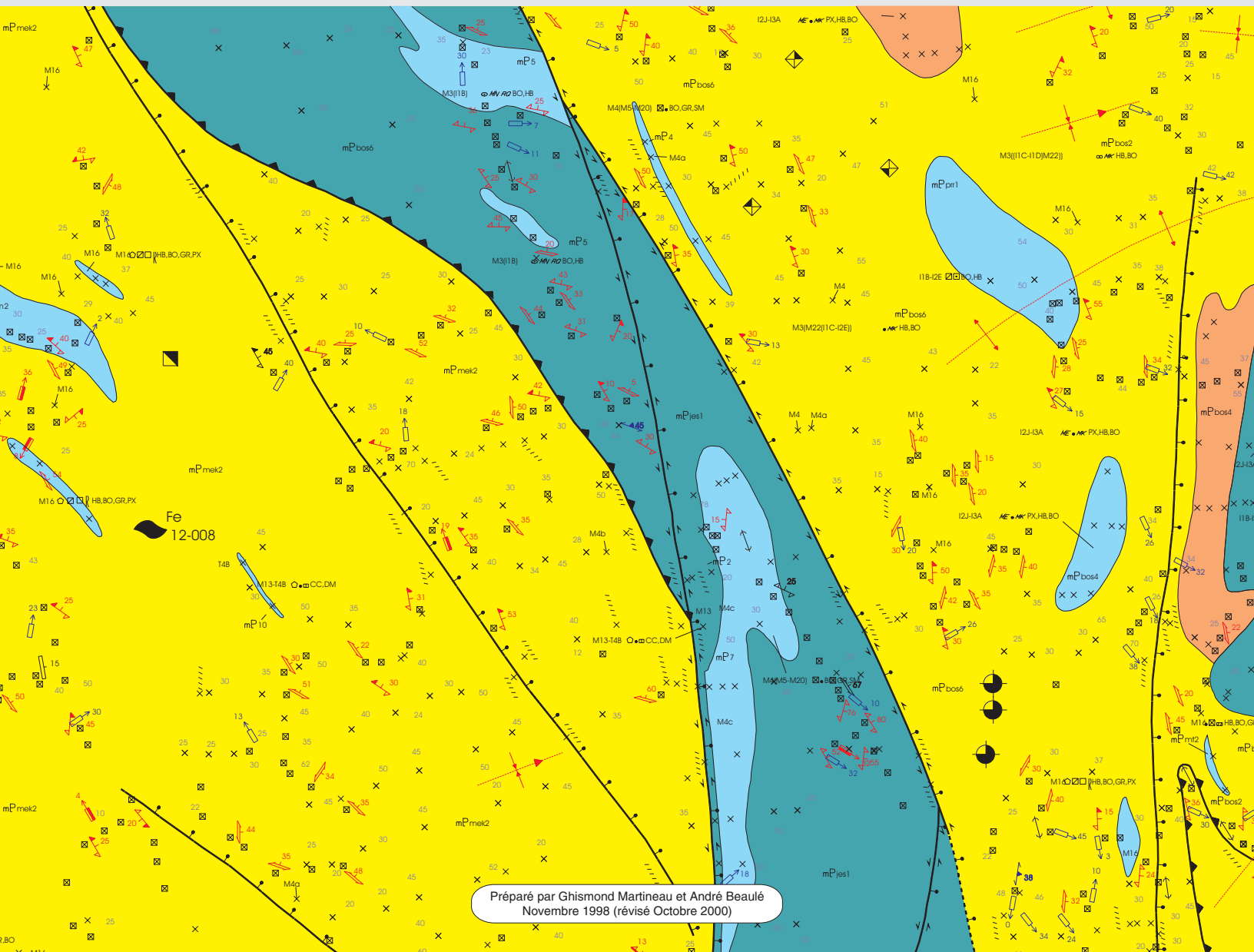




SYMBOLES ET ABRÉVIATIONS DE LA CARTE GÉOSCIENTIFIQUE PRO 2000-08



Note à l'utilisateur

Pour obtenir une description et une définition détaillées des symboles et abréviations de la légende géoscientifique, consulter les documents suivants :

Légende générale de la carte géologique
- Édition revue et augmentée -
MB 96-28

Guide d'utilisation des géofiches
MB 98-05

Carnet « GÉOFICHE »
DV 97-02

SITE D'OBSERVATION

Affleurement avec description :

- sur géofiche
- sur compifiche



Aire d'affleurement



Site fossilifère



Débris rocheux



CONTOURS GÉOLOGIQUES

Limite stratigraphique



Limite lithologique



Discordance



LES ÂGES GÉOLOGIQUES

	Q	Quaternaire [QUAT]		R	Récent [RECE]	
				P	Pléistocène [PLEI]	
C		Cénozoïque [CENO]		P	Pliocène [PLIO]	
			N	Néogène [NEOG]	M	Miocène [MIOC]
	T	Tertiaire [TERT]			O	Oligocène [OLIG]
			P	Paléogène [PALG]	E	Éocène [EOCE]
				P	Paléocène [PALC]	
	K	Crétacé [CRET]				
M	J	Jurassique [JURA]				
	T	Trias [TRIA]				
	P	Permien [PERM]				
	C	Carbonifère [CARB]	P	Pennsylvanien [PENN]		
			M	Mississipien [MISS]		
P	D	Dévonien [DEVO]				
	S	Silurien [SILU]				
	O	OrdoVICIEN [ORDO]				
	€	Cambrien [CAMB]				
	nP	Néoprotérozoïque [NPRO]				
P	mP	Mésoprotérozoïque [MPRO]				
	pP	Paléoprotérozoïque [PPRO]				
	mpP	Meso ou Paléoprotérozoïque [PPRO]				
	nA	Néoarchéen [NARC]				
A	mA	Mésarchéen [MARC]				
	pA	Paléoarchéen [PARC]				
	eA	Eoarchéen [EARC]				
P€		Précambrien [PREC]				

N.B. Les codes entre crochets sont utilisés dans le module de la carte de compilation du SIGÉOM pour afficher le symbole de l'âge.

CODES MNÉMONIQUES DES MINÉRAUX ET DES FOSSILES

MINÉRAUX		Clevelandite	CI	Hédénbergite	HG	Orthoclase (orthose)	OR
Acanthite	AV	Clinohypersthène	HO	Hématite	HM	Orthopyroxène	OX
Actinote	AC	Clinopyroxène	CX	Hemimorphite	HE	Ottrelite	OL
Aeschynite - Y	EC	Clinozoïsité	CZ	Hercynite	HC	Oxyde de fer	OF
Agate	AE	Cobaltite	CE	Holmquistite	HK	Oxyhornblende	OH
Aikinite	BP	Coffinite	UB	Hornblende	HB	(Hornblende brune)	
Akermanite	KA	Columbite/Niobite	NB	Hydrocerussite	HT	Paragonite	PE
Albite	AB	Columbo-tantalite	TO	Hydromagnésite	HN	Pechblende	PB
Allanite	AL	Coopérite	OO	Hydrozincite	ZH	Penninite/Pennine	PT
Altaïte	TP	Cordiérite	CD	Hypersthène	HP	Pentlandite	PD
Amazonite	AI	Corindon	CN	Idaïte	ID	Péristérite	II
Améthyste	AH	Cosalite	PI	Iddingsite	IG	Perovskite	PK
Amiante (Asbestos)	AO	Covellite	CV	Ilménite	IM	Perthite	PR
Amphibole	AM	Cryptomélane	CK	Irginite	IR	Petzite	PZ
Anatase	NT	Cubanite	CF	Isoferroplatine	IF	Phénacite/Phénakite	PA
Andalousite	AD	Cuivre natif (visible)	Cu	Jade	JA	Phlogopite	PH
Andésine	AA	Cumingtonite	CG	Jarosite	JS	Phosphuranylite	PU
Andradite	GD	Cuprite	CU	Jaspe	JP	Picrolite	AR
Anglésite	LR	Cyrtolite	ZU	Kaolinite	KL	Pistachite	PC
Anhydrite	AY	Danaïte	DT	Kasolite	KS	Plagioclase	PG
Ankérite	AK	Devilleine	DL	Kermésite	KM	Pollucite	ZP
Annabergite	NG	Digenite	DG	Klockmannite	KK	Posniakite	PJ
Anorthite	AN	Diopside	DP	Kornéropine	KP	Préhnite	PN
Anthophyllite	AT	Disthène/Kyanite	KN	Krennerite	KR	Pumpellyite	PP
Antimoine	Sb	Djurleite	DJ	Labradorite	LB	Pyrite	PY
Apatite	AP	Dolomite	DM	Laumontite	LU	Pyrochlore	PM
Aragonite	OA	Dravite	TG	Laurite	LI	Pyrolusite	PS
Argent natif (visible)	Ag	Dravite-Schorlite	DS	Lawsonite	LS	Pyrophyllite	PL
Arsénoxyrite	AS	Électrum	EM	Lepidocrocite	LD	Pyroxène	PX
Augite	AG	Enargite	EG	Lépidolite	LP	Pyrrhotite (Pyrrhotine)	PO
Autunite	AU	Enstatite	ES	Lessingite	LE	Quartz	QZ
Awaruite	NF	Epidote	EP	Leucite	LC	Quartz bleu	QB
Axinite	AX	Erythrite	ER	Leucoxène	LX	Rhodochrosite	RD
Azurite	AZ	Eudialyte	EU	Limonite	LM	Rhodonite	RN
Barytine	BR	Euxénite - (Y)	EX	Linnaéite	LN	Riebeckite	RB
Bastnaésite	BA	Fayalite	FA	Loellingite	LG	Romanéchite	RM
Béryl	BL	Feldspath	FP	Maghémite	DH	Roscoelite	RC
Bétabite	BF	Feldspath noir	FN	Magnésiochromite	IC	Rozénite	RZ
Biotite	BO	Feldspath potassique	FK	Magnésite	MN	Rutile	RL
Birnessite	BI	Feldspath vert/brun	FV	Magnétite	MG	Safflorite	FF
Bismuth	Bi	Feldspathoïde	FD	Malachite	MC	Samarskite - (Y)	UL
Bismuthinite	BM	Fer	Fe	Manganite	MM	Sanidine	SA
Bismutite	BS	Ferghanite	FT	Marcasite	MS	Sapphirine	SH
Boltwoodite	BD	Fergusonite	FS	Mariposite	MT	Scapolite	SC
Bornite	BN	Ferrimolybdite	FM	Marmatite	ZF	Scheelite	SW
Boulangérite	BG	Fibrolite	FB	Martite	MH	Schorlite(Schorl)	TF
Bournonite	WO	Fluorapatite	AF	Méliilite	ME	Sélénite	SG
Braggite	DI	Fluorite (fluorine)	FL	Melonite	MW	Sélénium	Se
Brannerite	BE	Forstérite	FO	Ménéghinite	NE	Sénarmontite	VS
Bravoïte	BV	Franklinite	FR	Merenskyite	MK	Séricite	SR
Britholite	BU	Freibergite	FG	Mésoperthite	MP	Serpentine	ST
Brochantite	BH	Fuchsité	FC	Méymacite	WH	Sidérite(sidérose)	SD
Brucite	BC	Gahnite	GH	Mica	MI	Sidérotil	SI
Bytownite	BT	Galène	GL	Microcline	ML	Sillimanite	SM
Calaverite	CA	Gaspéite	NC	Millerite	NS	Sklodowskite	DW
Calcédoine	CQ	Gédrite	GT	Minéraux argileux	MA	Smaltite/Smaltine	TW
Calcite	CC	Gersdorffite	NA	Minéraux décoratifs	MD	Samarskite	SK
Carbonate	CB	Glaucophane	GC	Minéraux lourds	MX	Smithsonite	ZO
Cattierite	CJ	Goethite	GO	Minéraux mafiques	MF	Sodalite	SS
Cérussite	WD	Graphite	GP	Minéraux opaques	OP	Soddyite	DY
Cervantite	OS	Greenalite	GF	Minéraux radioactifs	MR	Souffre	S
Chabazite(Chabasite)	ZB	Greenockite	GK	Minnesotaité	MU	Spécularite	HS
Chalcocite(ne)	CT	Grenat	GR	Molybdénite	MO	Spessartine	GS
Chalcopyrite	CP	Grenat-almandin	GA	Molybdite(dine)	MB	Sphalérite	SP
Chamosite	DN	Grenat-grossulaire	GG	Monazite	MZ	Sphène/Titanite	SN
Chert	CH	Grenat manganésifère	GM	Monticellite	OM	Spinelle	SL
Chloanthite	CO	Grenat-pyrope	GY	Muscovite	MV	Spodumène	SO
Chlorite	CL	Grunérite	GN	Néphéline	NP	Stannite	NN
Chloritoïde	CR	Gudmundite	UD	Nickéline	UN	Starkéyite	SY
Chondrodite	HR	Gummité	GB	Niocalite	OI	Staurotite	SU
Chromite	CM	Gunningite	GI	Ocre	OC	Stéatite	TS
Chrysocolle	CY	Gypse	GE	Oligoclasse	OG	Stibiconite	ON
Chrysotile	CS	Halite	HL	Olivine	OV	Stibine/Stibnite	SB
Clarkeite	UC	Heazlewoodite	HZ	Or natif (visible)	Au		

CODES MNÉMONIQUES DES MINÉRAUX ET DES FOSSILES

Stilbite (Heulandite)	HD	FOSSILES	YY
Stilpnomélane	SE	Brachiopodes	YB
Sulfures	SF	Bryozoaires	YZ
Sylvanite	SV	Céphalopodes	YC
Szomolnokite	SZ	Conulaires	YA
Talc	TC	Coraux	YX
Tantalite	TN	Crinoïdes	YR
Tellurobismuthite	TB	Échinodermes	YD
Tennantite	TT	Éponges	YE
Tenorite	TE	Gastéropodes	YT
Tétradymite	TD	Graptolites	YG
Tétraferroplatine	OT	Ostracodes	YO
Tétrahédrite	TH	Péléciopodes	YP
Thomsonite	ZT	Plantes	YN
Thorianite	TR	Poissons	YK
Thorite	TI	Stromatoïdes	YS
Thucholite	HU	Stromatoporoides	YI
Titanomagnétite	NM	Traces fossiles	YF
Topaze	TZ	Trilobites	YL
Torbernite	TU		
Tourmaline	TL	DIVERS	
Tourmaline zincifère	TA	Bioclastes	XB
Trémolite	TM	Ciment	XC
Ulvöspinél	US	Hydrocarbures	XH
Uraninite	UR	Liant	XL
Uranophane	UP	Lithoclastes	XR
Uranopilite	UI	Matière organique	XG
Uranothorianite	UH	Matrice	XM
Uranothorite	UT	Oncolites	XT
Uvarovite	GU	Oolites	XO
Valentinite	VA	Pellets	XP
Valleriite	VL	Péloïdes	XD
Vermiculite	VR	Autres	XX
Vésuvianite	VV		
Violarite	VO		
Willemite	WM		
Wilsonite	WS		
Wolframite	WF		
Wollastonite	WL		
Wulfenite	WN		
Xénotime-(Y)	TX		
Zéolite	ZL		
Zincite	ZN		
Zircon	ZC		
Zoïsite	ZS		

SYMBOLES ET CODES MNÉMONIQUES DES STRUCTURES, TEXTURES ET AUTRES

<i>AC</i>	AC	Aciculaire		CZ	Coulée massive à surface coussinée		FU	Fragments allongés «polymictic»/polygéniques
<i>AD</i>	AD	Adcumulat		CW	Coulée massive grenue et/ou partie basale grenue de coulée		FK	Fragments aplatis «polymictic»/polygénique
	AA	Affleurement caractérisé par le plissement					FQ	Fragments aplatis «monomictic»/monogénique
<i>AT</i>	AT	Agmatitique		CO	Coussiné (coussins)	<i>RB</i>	RB	Framboïdal
<i>AL</i>	AL	Alaskitique		XP	Coussins allongés	<i>FR</i>	FR	Frites («pencil structure») (en crayon)
<i>AE</i>	AE	Altéré		FP	Coussins aplatis			
<i>AO</i>	AO	Amas arrondis (globulaires)		MD	Coussins en molaire	<i>GA</i>	GA	Galets (à) (64-256 mm)
<i>AI</i>	AI	Amas irréguliers		CF	Coussins fragmentés		GE	Géode
<i>AB</i>	AB	Amiboïdal(e)	<i>CI</i>	CI	Coussins isolés	<i>GB</i>	GB	Gloméroblastique
	AM	Amygdalaire	<i>CJ</i>	CJ	Coussins jointifs	<i>GC</i>	GC	Gloméroclastique
<i>AN</i>	AN	Anastomosé	<i>CT</i>	CT	Crescumulat	<i>GX</i>	GX	Glomérocrystallin(e)
	AR	Antirapakivi	<i>CR</i>	CR	Cristalloblastique		GH	Gloméroporphorique
<i>AP</i>	AP	Aphanitique	<i>CX</i>	CX	Cristaux (en)	<i>NR</i>	NR	Gneiss à crayons
<i>AY</i>	AY	Apophyse (en)	<i>CP</i>	CP	Cryptalguaire	<i>GD</i>	GD	Gneiss droit («straight gneiss»)
<i>AS</i>	AS	Arborescent	<i>CU</i>	CU	Cumulat (à)			
<i>AU</i>	AU	Autoclastique	<i>CM</i>	CM	Cumulite	<i>GS</i>	GS	Gneissique
<i>BA</i>	BA	Bancs (en)	<i>DS</i>	DS	Cupules («dish structure»)	<i>GW</i>	GW	Gradation densimétrique
<i>BM</i>	BM	Bandes de cimentation	<i>CY</i>	CY	Cyclique(Cyclicité)	<i>VG</i>	VG	Gradation granulométrique
<i>BS</i>	BS	Basal(e)	<i>DT</i>	DT	Dendritique	GF	GF	Grains fins (à) < 1mm
<i>BE</i>	BE	«Birds eyes»	<i>DG</i>	DG	Désagrégés / brisés			roches ignées
<i>BI</i>	BI	Biseau	<i>DQ</i>	DQ	Diabasique	GG	GG	Grains grossiers (à) >5 mm
<i>BL</i>	BL	Blocs (à)	<i>DB</i>	DB	Diablastique			roches ignées
	BU	Bordure / limite de coulée	<i>DC</i>	DC	Diaclasé	GM	GM	Grains moyens (à) 1-5 mm
<i>BV</i>	BV	Botryoïdal	<i>DE</i>	DE	Direction d'écoulement de coulées			roches ignées
∞	BO	Boudinage		DR	Direction de courant	<i>GT</i>	GT	Grains très fins
	BC	Brèche à coussins ordinaires isolés		DD	Discordance	<i>GO</i>	GO	Grains très grossiers
	BG	Brèche à coussins peu serrés	<i>DI</i>	DI	Disséminé		GR	Granoblastique
	BF	Brèche à méga-coussins isolés	<i>DK</i>	DK	Drusique	∞	GI	Granoclassement inverse
	BB	Brèche à mini-coussins isolés	<i>DU</i>	DU	Dunes	∞	GJ	Granoclassement inverse suivi de normal
	BQ	Brèche de coulée / Brèche de lave	<i>DW</i>	DW	Durchbewegung	∞	GK	Granoclassement normal suivi d'inverse
	BH	Brèche de coussins désagrégés / brisés	<i>SB</i>	SB	Échappement (structure d')	∞	GN	Granoclassement normal
	BK	Brèche de coussins fragmentés	<i>ED</i>	ED	Écharde	<i>GR</i>	GQ	Granoclastique
	BN	Brèche d'intrusion	<i>EO</i>	EO	Écoulement (structure d')	<i>GY</i>	GY	Granophyrique
	BP	Brèche pyroclastique	<i>EF</i>	EF	Effondrement (structure d')	<i>GU</i>	GU	Granules (à) (2-4 mm)
<i>BT</i>	BT	Brèche tectonique	<i>EL</i>	EL	Empreinte de cannelures	<i>GP</i>	GP	Graphique
<i>BR</i>	BR	Bréchiq / Brèche	<i>EC</i>	EC	Empreinte de charge (« load cast»)	<i>GV</i>	GV	Griffon
<i>BY</i>	BY	Broyage	<i>EI</i>	EI	Empreinte d'impact		HA	«Harrisitic»
<i>CA</i>	CA	Cailloux 4-64 mm	<i>EN</i>	EN	Enclave	<i>HE</i>	HE	Hélicitique
∞	PK	Cailloux alignés «pebble stringers»	<i>EM</i>	EM	Encroûtement («crustification»)	<i>HU</i>	HU	Hétéradcumulat
<i>/</i>	CN	Cannelure	<i>EE</i>	EE	En échelon	<i>HB</i>	HB	Hétéroblastique
<i>CO</i>	CQ	Cataclastique	<i>ES</i>	ES	En festons		HK	Hétérogène
<i>CE</i>	CE	Cendre (à)	<i>EP</i>	EP	Épiclastique	<i>HG</i>	HG	Hétérogranulaire
	VP	Centre volcanique/ faciès proximal	<i>EQ</i>	EQ	Équigranulaire	<i>HC</i>	HC	Holocristallin(e)
-	DN	Cheminée d'alimentation (dyke nourricier)	<i>ER</i>	ER	Excroissances	<i>HH</i>	HH	Holohyalin(e)
<i>CV</i>	CV	Cheminée volcanique	<i>EX</i>	EX	Extrusif (ve)	<i>HL</i>	HL	Hololeucocrate
∞	CH	Chenal	<i>FJ</i>	FJ	Faïlle intra-formationnelle	<i>HM</i>	HM	Holomélanocrate
<i>CG</i>	CG	Chenalisé		FV	Faïlle synvolcanique	<i>HO</i>	HQ	Homéoblastique
<i>CD</i>	CD	Chenal d'érosion (à)	$\#$	FM	Fente de refroidissement		HJ	Homogène
∞	CS	Cisaillé(e)	<i>FI</i>	FI	Fibreux (se)	<i>HT</i>	HT	Homotactique
<i>OL</i>	OL	Colloforme	<i>FB</i>	FB	Fibroblastique		HY	Hyaloclastites
	JC	Columnaire/ (joints en colonnes)	<i>FN</i>	FN	Filonien		HR	Hyaloclastites remaniées
∞	CC	Concrétion(s) nodules		FH	Filons-couches cogénitiques (synvolcaniques)	<i>HP</i>	HP	Hyalopilitique
<i>CB</i>	CB	Convolutions (à)	\sim	FE	Filammes		TH	Hyalotuf
	KO	Coronitique		FS	Filandrè « Flaser »	<i>HD</i>	HD	Hypidiomorphe
<i>CL</i>	CL	Coulée	\sim	FL	Fluè, par fluage - fluidal	<i>HX</i>	HX	Hypocristallin(e)
	NC	Coulée coussinée à noyaux saussuritisés	\sim	FL	Fluidal(e) (à structure)	<i>ID</i>	ID	Idiomorphe
	FZ	Coulée fragmentée		FX	Flûte déformée par surcharge	∞	IM	Imbrication de cailloux, blocs
	CK	Coulée massive	\sim	FT	Flûte («flutecast»)	<i>IP</i>	IP	Imprégnation
	NM	Coulée massive à noyaux saussuritisés	\sim	FO	Folié(e)	<i>IG</i>	IG	Intergranulaire
			$\#$	FF	Fossilifère	<i>IS</i>	IS	Intersertale
				FA	Fracturé(e)	<i>IT</i>	IT	Intraclastes (à)
				FC	Fractures radiales dans les coussins	<i>IR</i>	IR	Intraformationnel(le)
			<i>FG</i>	FG	Fragmenté(e)	\uparrow	IU	Intrusif(ve) / injection
				FW	Fragments allongés «monomictes»/monogéniques	<i>IC</i>	IC	Iridescente
						<i>IL</i>	IL	Isolés
							JC	Joints en colonnes
						<i>KR</i>	KR	Karstique
						<i>LU</i>	LU	Labradorescence
						<i>LA</i>	LA	Laminaire (laminé)

SYMBOLES ET CODES MNÉMONIQUES DES STRUCTURES, TEXTURES ET AUTRES (SUITE)

	LC	Laminations convolutées		PO	Porphyrique		TL	Tuf à lapilli
	CP	Laminations cryptalgaires		PQ	Porphyroblastique		TY	Tuf à lapilli et tuf à blocs
	LO	Laminations ondulantes		PJ	Porphyroclastique		TC	Tuf cherteux
	LL	Laminations ondulantes lenticulaires		PX	Prismatique		TG	Tuf graphiteux
	LQ	Laminations obliques		PF	Protoclastique		TI	Tuf lithique
	LP	Laminations parallèles		PR	Pyroclastique		TS	Tuf soudé
	TO	Lapillistone		RO	Radeaux (en)		TU	Tufacé
	LI	Lapilli (à)		RK	Rapakivique		TB	Turbidite (voir guide des géofiches)
	LJ	Lattis (en)		RG	Régolite		VA	Variolitique
	LT	Lattes (en)		RN	Remanié(e)		VN	Veiné(e)
	LV	Lave / coulée de lave		RL	Remplacement		VE	Vesiculaire
	LK	Lave en blocs		RF	Réniforme		VI	Vitreux(se)
	LE	Lenticulaire		RE	Réticulé(e)		VO	Volcanique
	LF	Lépidoblastique		RC	Rides de courant		VC	Volcanoclastites
	LX	Leucocrate		RP	Rides de plage		XB	Xénoblastique
	LS	Leucosome		RM	«Rill mark(s)»		XM	Xénomorphe
	SA	Lité(e), stratifié(e)		RI	«Rip-up clast(s)»		ZC	Zone de contact
	AG	Lits amalgamés		RQ	Ruban de quartz		ZD	Zone de déformation
	LN	Lits d'épaisseur moyenne (10 à 25 cm)		RU	Rubané(e)		ZF	Zone de faille
	LG	Lits épais (>25 cm)		RA	Rubanement concentrique		ZM	Zone minéralisée
	LD	Lits lenticulaires		LJ	Rubanement de diffusion («Liesegang rings»)		ZR	Zone rouillée
	LM	Lits minces (1-10 cm)		RS	Rubanement symétrique		ZS	Zone de cisaillement
	LB	Lobe		RT	Rubanement tectonique		XX	Autres
	MA	Massif(ve)		SD	Saccaroidale (granoblastique)			
	MC	Mégacoussins (à)		SC	Schisteux			
	MP	Mégaporphyrique		SH	«Schlieren»			
	MX	Mélanocrate		SR	Scoriacé(e)			
	MS	Mélanosome		SV	«shatter cone»			
	MK	Mésocrate		SL	«Slump»			
	MF	Mésocumulat		SM	Sommital(e)			
	ME	Métamorphisé		SP	Sphérolitique			
	ML	Miarolitique		SX	Spinifex (à)			
	MT	Micritique		SW	Stockwerk			
	MB	Microbrèche		SF	Stratifications entrecroisées de fosse			
	MI	Microlitique		SN	Stratifications / laminations obliques planaires			
	MR	Microporphyrique		SQ	Stratifications / laminations obliques tangentielles			
	MU	Minicoussins (à)		ST	Stratifié(e) / stratiforme			
	MZ	Mobilisat		SG	«Streaky» mafiques en trait			
	MM	Monogénique «Monomictic»		SJ	Stratoïde («stratabound»)			
	MO	Mosaïque		SI	Strie			
	MN	Mylonitique		SS	Stringer			
	MY	Myrmékitique		SK	«Stromatic»			
	NB	Nébulitique		SU	Stromatolitique			
	NE	Nématoblastique		ET	Structure de percement («pierceement»)			
	NS	Néosome		DW	Structure «durchbewegung »			
	NO	Nodulaire		PY	Structure en cocarde (crustification dans brèche, «cockade»)			
	NY	Noyaux		PW	Structure en peigne («comb»)			
	OC	Ocellaire		SY	Stylolites			
	OE	Oeillé(e)		SO	Subophitique			
	OI	Olikocrist (à)		SE	Surface d'érosion			
	OO	Oolitique		TA	Tabulaire			
	OP	Ophitique		TT	Talus (de)			
	OR	Orbiculaire		TE	Tectonique			
	OU	Orthocumulat		YL	Tectonite en L			
	PS	Paléosome		YZ	Tectonite en L/S			
	PE	Paléosurface d'érosion		YS	Tectonite en S			
	PA	Panidiomorphe		YH	Tectonique hétéroclastique			
	PV	Patron d'interférence		YM	Tectonite homoclastique			
	PG	Pegmatitique		TF	Traces fossiles (trous de vers, etc.)			
	PL	«Pellets» (à)		TR	Trachytique / trachytoïde			
	PD	Péloïdes		TP	Trempe (de)			
	PT	Perlitique		TM	Tuf à blocs			
	LR	Peu serrés (loosely packed)		TB	Tuf à blocs et tuf à lapilli			
	PH	Phanéritique		TE	Tuf à cendre			
	PI	Phénocristique		TX	Tuf à cristaux			
	PZ	Plis ptygmatisés						
	PU	Plutonique						
	PC	Poecilitique						
	PB	Poeciloblastique						
	PM	Polygénique / «polymictic»						
	PN	Ponce						
	PP	Porphyre						

GiTES MINÉRAUX

Morphologie et attitude des gîtes

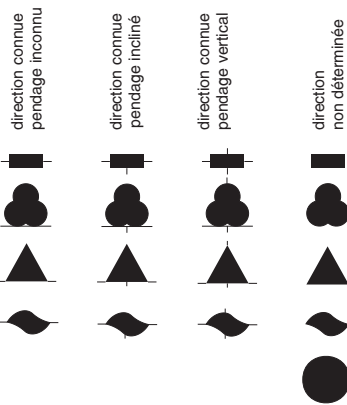
tabulaire ($x=y \gg z$)
(filon, couche, strate, dyke)

amas ($x=y=z$)

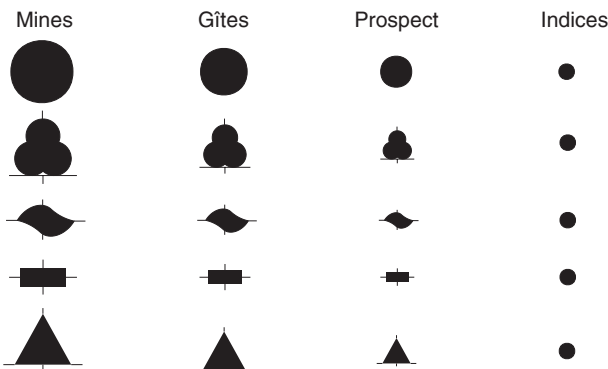
tubulaire/conique ($x \gg y=z$)
(cylindrique, cheminée)

lenticulaire ($x > y > z$)

indéterminée



État des gîtes



SONDAGE

Sondage incliné avec
projection horizontale

Sondage dans les
dépôts meubles



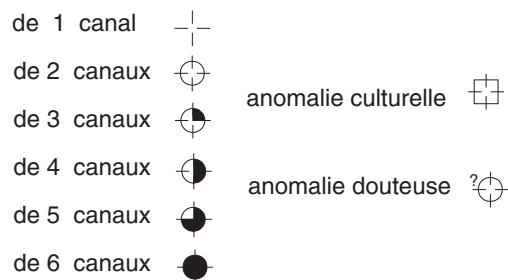
Sondage vertical



GÉOPHYSIQUE

Anomalies - levés électromagnétiques

- dans le domaine du temps

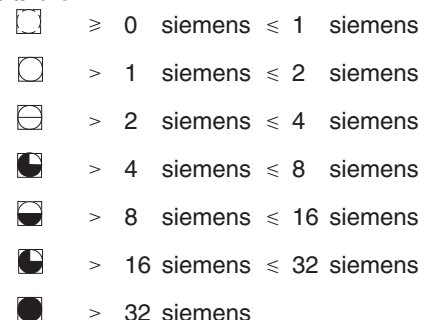


anomalie



- dans le domaine des fréquences

anomalie
culturelle



anomalie positive en phase

Champ magnétique total résiduel

lignes isomagnétiques (valeur du champ)



dépression
magnétique

INSTALLATIONS MINIÈRES

Usine de traitement



Puits incliné



Puits vertical



Rampe



Galerie à flanc de coteau



Projection d'ouverture souterraine



Bassin à résidus



Carrière d'exploitation



Carrière à granulats



Chantier ouvert



Digue de bassin à résidus



Halde stérile



GÉOCHIMIE

Géochimie - roches

position de l'échantillon



échantillon analysé pour:

terres rares



substances économiques



éléments majeurs



éléments traces



Géochimie - sédiments

position de l'échantillon



FAILLES RÉGIONALES

	position							
	certaine	approxmative	présumée	projetée sous dépôts meubles	déduite de forage	déduite de géophysique	déduite de photo-inter.	déduite de télédétec.
mouvement								
indéterminé	—	--	..	-.	---	--	+—	+—
normal	┆—	┆--	┆.....	┆. .	┆-----	┆-----		
inverse	┆—	┆--	┆.....	┆. .	┆-----	┆-----		
dextre	↔—	↔--	↔.....	↔. .	↔-----	↔-----		
senestre	↔—	↔--	↔.....	↔. .	↔-----	↔-----		
dextre-inverse	↔—┆	↔--┆	↔.....┆	↔. .┆	↔-----┆	↔-----┆		
dextre-normal	↔—┆	↔--┆	↔.....┆	↔. .┆	↔-----┆	↔-----┆		
senestre-inverse	↔—┆	↔--┆	↔.....┆	↔. .┆	↔-----┆	↔-----┆		
senestre-normal	↔—┆	↔--┆	↔.....┆	↔. .┆	↔-----┆	↔-----┆		

CISAILLEMENTS RÉGIONAUX

	position							
	certaine	approxmative	présumée	projetée sous dépôts meubles	déduite de forage	déduite de géophysique	déduite de photo-inter.	déduite de télédétec.
mouvement								
indéterminé	////	//// ////	//// -	//// - .	//// ---	//// --	////	////
normal	┆////	┆//// ////	┆//// -	┆//// - .	┆//// ---	┆//// --		
inverse	┆////	┆//// ////	┆//// -	┆//// - .	┆//// ---	┆//// --		
dextre	////	//// ////	//// -	//// - .	//// ---	//// --		
senestre	~~~~	~~~~ ~~~~	~~~~ -	~~~~ - .	~~~~ ---	~~~~ --		
dextre-inverse	┆////	┆//// ////	┆//// -	┆//// - .	┆//// ---	┆//// --		
dextre-normal	┆////	┆//// ////	┆//// -	┆//// - .	┆//// ---	┆//// --		
senestre-inverse	┆////	┆//// ~~~~	┆//// -	┆//// - .	┆//// ---	┆//// --		
senestre-normal	┆////	┆//// ~~~~	┆//// -	┆//// - .	┆//// ---	┆//// --		

PLIS RÉGIONAUX



symbolisme utilisé pour décrire une surface axiale de type:

		P_1^0	P_2^0	P_2^1	P_3^0	P_3^1	P_3^2	P_4^0	P_4^1	P_4^2	P_4^3	P_x^x
antiforme	déjetée											
	droite											
	déjetée											
	droite											
	déjetée											
	droite											
synforme	déjetée											
	droite											
	déjetée											
	droite											
	déjetée											
	droite											

STRUCTURES PLANAIRES

Stratification

sommet non déterminé

horizontale, inclinée, verticale,
sens du pendage inconnu



sommet déterminé

horizontale: sommet vers le haut,
sommet vers le bas



Inclinée, renversée, verticale,
sens du pendage inconnu



Surfaces S

horizontale
inclinée
verticale
pendage
inconnu

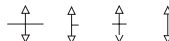
Surface S1



Surface S2



Surface S3



Surface S4



Surface S5



Foliation primaire



Foliation minérale

phase 1



phase 2



phase 3



Gneissosité, lamination différentielle

phase 1



phase 2



Rubanement tectonique

phase 1



phase 2



Gneissosité de gneiss droit

phase 1



phase 2



Rubanement migmatitique

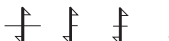
phase 1



phase 2



Foliation /
rubanement mylonitique



"Kink bands"



"Shear bands"



Plans axiaux

horizontale
inclinée
verticale
pendage
inconnu



Joints et diaclases



Veines

Veine



Zone de veines
en échelon



Dykes



Zone de cisaillement: observée localement

Indéterminé



Normal



Inverse



Dextre



Dextre normal



Dextre inverse



Senestre



Senestre normal



Senestre inverse



Faille: observée localement

Indéterminée



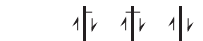
Normale



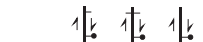
Inverse



Dextre



Dextre normale



Dextre inverse



Senestre



Senestre normale



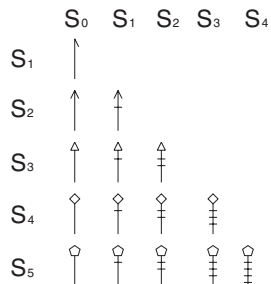
Senestre inverse



LINÉATIONS

Axe de boudin	B	
Axe de joint en colonne	J	
Axe de mullion	L	
D'étirement	E	
plaquage minéral (smear)	Y	
tige de quartz	Q	
objet déformé allongé	A	
Indéterminée		
-horizontale	L	
-inclinée	L	
-verticale	L	
Minérale		
-primaire (magmatique)	M	
-secondaire (tectono-métamorphique)	N	
Strie de faille	F	
Strie intercouche	T	

Linéation d'intersection



Linéation sédimentaire

		indéterminée	dans le plongement	contraire au plongement
linéation sédimentaire	S			
marque de semelle	H			
structure interne	U			

Exemple:

Schistosité de phase 1 (S₁) avec un mouvement senestre déterminé par un porphyroclaste de type "delta".



Pli symétrique P₂¹ affectant une surface S₁

INDICATEURS DE MOUVEMENT

Normal	N	
Inverse	I	
Dextre	D	
Senestre	S	
Normal dextre	X	
Normal senestre	L	
Inverse dextre	V	
Inverse senestre	T	

PLIS OBSERVÉS LOCALEMENT

Antiforme		
Synforme		
Pli dextre(en Z)	Z	
Pli senestre(en S)	S	
Pli symétrique en M	M	
Pli symétrique en W	W	

INDICATEURS CINÉMATIQUES

Asymétrie de plis	P	
Veines	V	
Zones de veines en extension	Z	
Boudins	B	
Objets ou plans déplacés par le cisaillement	J	
Objets ou plans fléchis par le cisaillement	F	
Porphyroclastes du type sigma (en escalier)	S	
Porphyroclastes du type delta (dans le plan)	D	
Inclusions alignées dans les porphyroblastes	I	
" Mica fish "	M	
Ombres de pression autour des cristaux	O	
" Shear bands "	H	
Fabrique de type C/S	C	
En étagère à livres	L	
Cristaux déplacés	K	